

RCC-MR

REGLES DE CONCEPTION ET DE CONSTRUCTION DES MATERIELS MECANIQUES DES INSTALLATIONS NUCLEAIRES

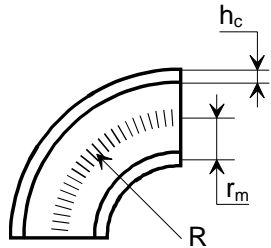
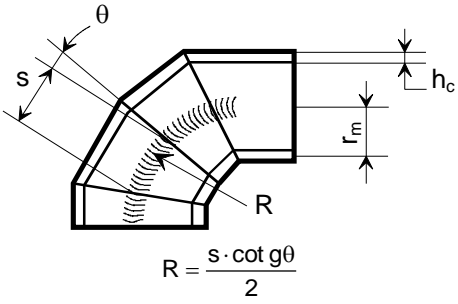
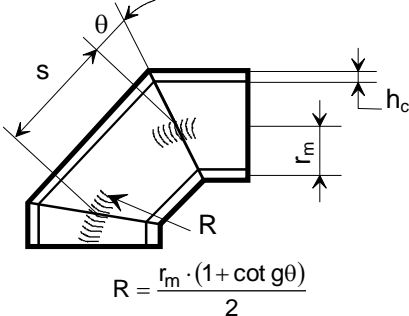
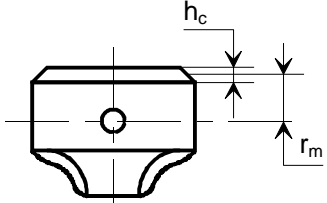
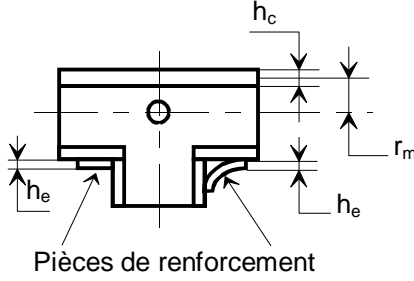
EDITION 2007

2^{ème} Erratum – Avril 2022

afcen

AFCEN - Association régie par la loi du 1^{er} juillet 1901
Siège administratif : AFCEN, 1 place Jean Millier – 92400 Courbevoie Cedex
ISBN No.2-913638-21-X

Figure RD 3682 : coefficients de contraintes

Désignation	Caractéristiques de flexibilité f	Facteur de flexibilité	Coefficient de contrainte i	Schémas
Tuyau droit	1	1	1	
Coudes à souder ou tuyauteries cintrées (1), (2), (3)	$\frac{h_c \cdot R}{r_m^2}$	$\frac{1,65}{f}$	$\frac{0,9}{f^{2/3}}$	
Coudes à secteurs $s < r_m \cdot (1 + \text{tg}\theta)$ (1), (2), (3)	$\frac{h_c \cdot R}{r_m^2}$	$\frac{1,52}{f^{5/6}}$	$\frac{0,9}{f^{2/3}}$	
Coudes à secteurs $s \geq r_m \cdot (1 + \text{tg}\theta)$ (1), (2), (4)	$\frac{h_c \cdot R}{r_m^2}$	$\frac{1,52}{f^{5/6}}$	$\frac{0,9}{f^{2/3}}$	
Tés à souder conformes à la norme ANSI B 16.9 (1), (2)	$4,4 \cdot \frac{h_c}{r_m}$	1	$\frac{0,9}{f^{2/3}}$	
Piquages renforcés (1), (2), (5)	$\frac{(h_c + 0,5 \cdot h_e)^{5/2}}{r_m \cdot h_c^{3/2}}$	1	$\frac{0,9}{f^{2/3}}$	
Piquages non renforcés (1), (2)	$\frac{h_c}{r_m}$	1	$\frac{0,9}{f^{2/3}}$	